

Laser Blade

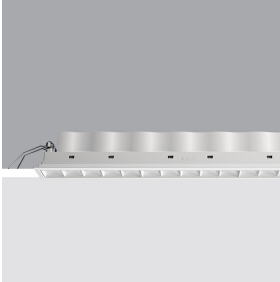
Design iGuzzini

iGuzzini

Última actualización de la información: Marzo 2025

Configuraciones productos: MQ84.01

MQ84.01: Empotrable de 15 celdas - LED - Warm white - Alimentación dimerizable DALI integrada - Flood - Blanco



Código producto

MQ84.01: Empotrable de 15 celdas - LED - Warm white - Alimentación dimerizable DALI integrada - Flood - Blanco

Descripción

equipo miniaturizado empotrable rectangular con 15 elementos ópticos y fuentes LED - ópticas fijas - apertura flood. Cuerpo principal con superficie radiante de aluminio fundido a presión, versión con marco perimetral de tope. Ópticas de alta definición de termoplástico metalizado, integradas en posición retrasada en la pantalla antideslumbramiento negra; la composición de la estructura del sistema óptico evita el efecto puntiforme, permite obtener una distribución luminosa definida y circular y genera una emisión con deslumbramiento controlado. Incluye grupo de alimentación electrónico dimerizable DALI conectado a la luminaria. LED blanco warm de alto índice de rendimiento cromático

Instalación

empotrable con muelles de acero para falso techo de 1 a 25 mm - ranura de preparación 37 x 406

Colores

Blanco (01)

Peso (Kg)

0.86

Montaje

empotrable en la pared|empotrable en el techo

Equipo

en caja de alimentación con conexiones rápidas

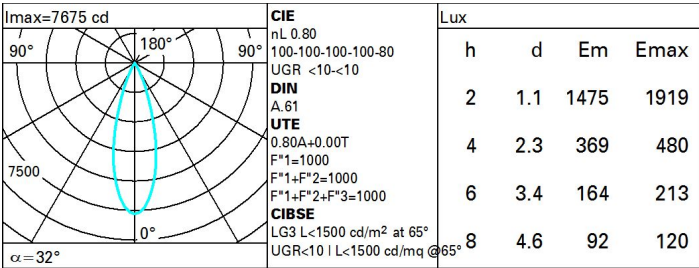
Se conforma con EN60598-1 y regulaciones pertinentes



Datos técnicos

| | | | |
|---|------|--------------------------------------|-------------------------------|
| Im de sistema: | 2236 | CRI (típico): | 97 |
| W de sistema: | 35 | Temperatura de color [K]: | 3000 |
| Im de la fuente: | 2800 | MacAdam Step: | 3 |
| W de la fuente: | 31 | Life time (vida útil) LED 1: | 50,000h - L90 - B10 (Ta 25°C) |
| Eficiencia luminosa (lm/W, valor del sistema): | 63.9 | Código de lámpara: | LED |
| Im en modo emergencia: | - | Número de lámparas por grupo óptico: | 1 |
| Flujo total de emisión en un ángulo de 90° o superior [Lm]: | 0 | Código ZVEI: | LED |
| Light Output Ratio (L.O.R.) [%]: | 80 | Número de grupos ópticos: | 1 |
| Ángulo de apertura del haz de luz [°]: | 31° | Control: | DALI-2 |
| CRI (mínimo): | 95 | | |

Polar



Coefficientes de uso

| R | 77 | 75 | 73 | 71 | 55 | 53 | 33 | 00 | DRR |
|------|----|----|----|----|----|----|----|----|-----|
| K0.8 | 72 | 69 | 66 | 64 | 68 | 66 | 65 | 63 | 78 |
| 1.0 | 75 | 72 | 70 | 68 | 71 | 69 | 69 | 66 | 83 |
| 1.5 | 79 | 77 | 75 | 73 | 76 | 74 | 73 | 71 | 89 |
| 2.0 | 81 | 80 | 78 | 77 | 79 | 77 | 76 | 74 | 93 |
| 2.5 | 83 | 82 | 81 | 80 | 80 | 79 | 79 | 77 | 96 |
| 3.0 | 84 | 83 | 82 | 81 | 82 | 81 | 80 | 78 | 98 |
| 4.0 | 85 | 84 | 84 | 83 | 83 | 82 | 81 | 79 | 99 |
| 5.0 | 85 | 85 | 85 | 84 | 84 | 83 | 82 | 80 | 100 |

Diagrama UGR

| Corrected UGR values (at 2800 lm bare lamp luminous flux) | | | | | | | | | | | |
|---|-----|------------------|--------------|------|------|------|----------------|------|------|------|------|
| Reflect.: | | viewed crosswise | | | | | viewed endwise | | | | |
| ceiling/cav | | 0.70 | 0.70 | 0.50 | 0.50 | 0.30 | 0.70 | 0.70 | 0.50 | 0.50 | 0.30 |
| walls | | 0.50 | 0.30 | 0.50 | 0.30 | 0.30 | 0.50 | 0.30 | 0.50 | 0.30 | 0.30 |
| work pl. | | 0.20 | 0.20 | 0.20 | 0.20 | 0.20 | 0.20 | 0.20 | 0.20 | 0.20 | 0.20 |
| Room dim | | | | | | | | | | | |
| x | y | | | | | | | | | | |
| 2H | 2H | -3.1 | -2.6 | -2.9 | -2.4 | -2.2 | -3.1 | -2.6 | -2.9 | -2.4 | -2.2 |
| | 3H | -3.3 | -2.8 | -3.0 | -2.5 | -2.3 | -3.3 | -2.8 | -3.0 | -2.5 | -2.3 |
| | 4H | -3.3 | -2.9 | -3.0 | -2.6 | -2.3 | -3.3 | -2.9 | -3.0 | -2.6 | -2.3 |
| | 6H | -3.4 | -3.0 | -3.1 | -2.7 | -2.4 | -3.4 | -3.0 | -3.1 | -2.7 | -2.4 |
| | 8H | -3.5 | -3.1 | -3.1 | -2.7 | -2.4 | -3.5 | -3.1 | -3.1 | -2.7 | -2.4 |
| | 12H | -3.5 | -3.1 | -3.1 | -2.8 | -2.4 | -3.5 | -3.1 | -3.1 | -2.8 | -2.4 |
| 4H | 2H | -3.3 | -2.9 | -3.0 | -2.6 | -2.3 | -3.3 | -2.9 | -3.0 | -2.6 | -2.3 |
| | 3H | -3.5 | -3.1 | -3.1 | -2.8 | -2.4 | -3.5 | -3.1 | -3.1 | -2.8 | -2.4 |
| | 4H | -3.6 | -3.3 | -3.2 | -2.9 | -2.5 | -3.6 | -3.3 | -3.2 | -2.9 | -2.5 |
| | 6H | -3.7 | -3.4 | -3.2 | -3.0 | -2.6 | -3.7 | -3.4 | -3.2 | -3.0 | -2.6 |
| | 8H | -3.7 | -3.5 | -3.3 | -3.0 | -2.6 | -3.7 | -3.5 | -3.3 | -3.0 | -2.6 |
| | 12H | -3.8 | -3.5 | -3.3 | -3.1 | -2.6 | -3.8 | -3.5 | -3.3 | -3.1 | -2.6 |
| 8H | 4H | -3.7 | -3.5 | -3.3 | -3.0 | -2.6 | -3.7 | -3.5 | -3.3 | -3.0 | -2.6 |
| | 6H | -3.8 | -3.6 | -3.3 | -3.1 | -2.7 | -3.8 | -3.6 | -3.3 | -3.1 | -2.7 |
| | 8H | -3.9 | -3.7 | -3.4 | -3.2 | -2.7 | -3.9 | -3.7 | -3.4 | -3.2 | -2.7 |
| | 12H | -3.9 | -3.8 | -3.4 | -3.3 | -2.8 | -3.9 | -3.8 | -3.4 | -3.3 | -2.8 |
| 12H | 4H | -3.8 | -3.5 | -3.3 | -3.1 | -2.6 | -3.8 | -3.5 | -3.3 | -3.1 | -2.6 |
| | 6H | -3.9 | -3.7 | -3.4 | -3.2 | -2.7 | -3.9 | -3.7 | -3.4 | -3.2 | -2.7 |
| | 8H | -3.9 | -3.8 | -3.4 | -3.3 | -2.8 | -3.9 | -3.8 | -3.4 | -3.3 | -2.8 |
| Variations with the observer position at spacing: | | | | | | | | | | | |
| S = | | 1.0H | 0.8 / -18.5 | | | | 0.8 / -18.5 | | | | |
| | | 1.5H | 9.6 / -18.7 | | | | 9.6 / -18.7 | | | | |
| | | 2.0H | 11.6 / -23.0 | | | | 11.6 / -23.0 | | | | |